

Figura 6.96 Influencia del grado de saturación sobre el módulo de Young (E).

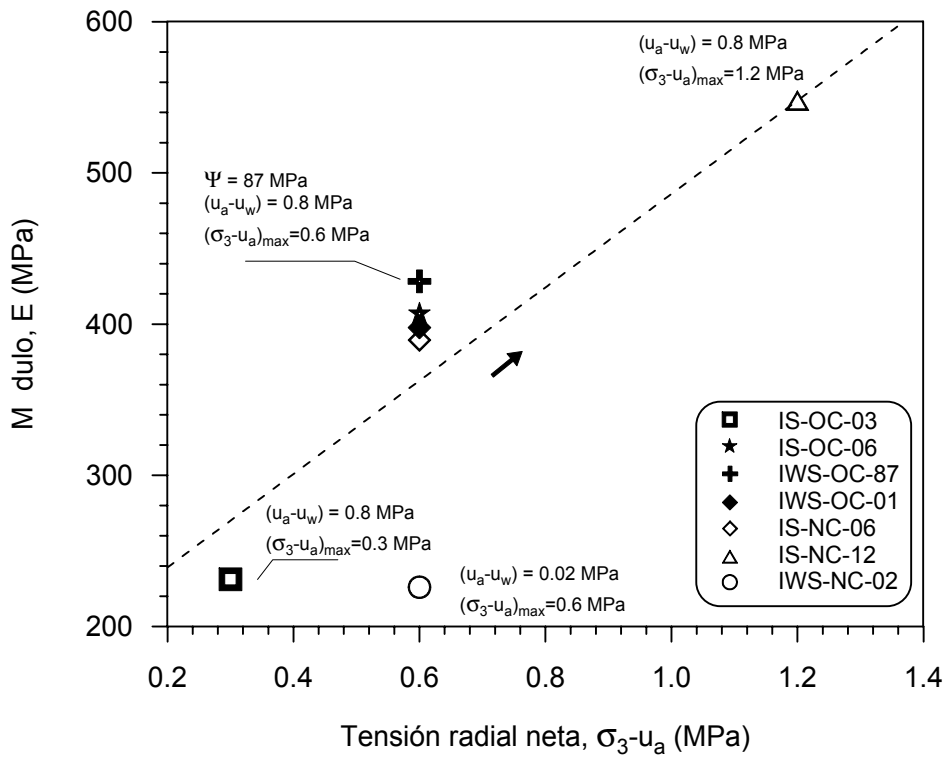


Figura 6.97 Influencia de la tensión radial neta sobre el módulo de Young (E).

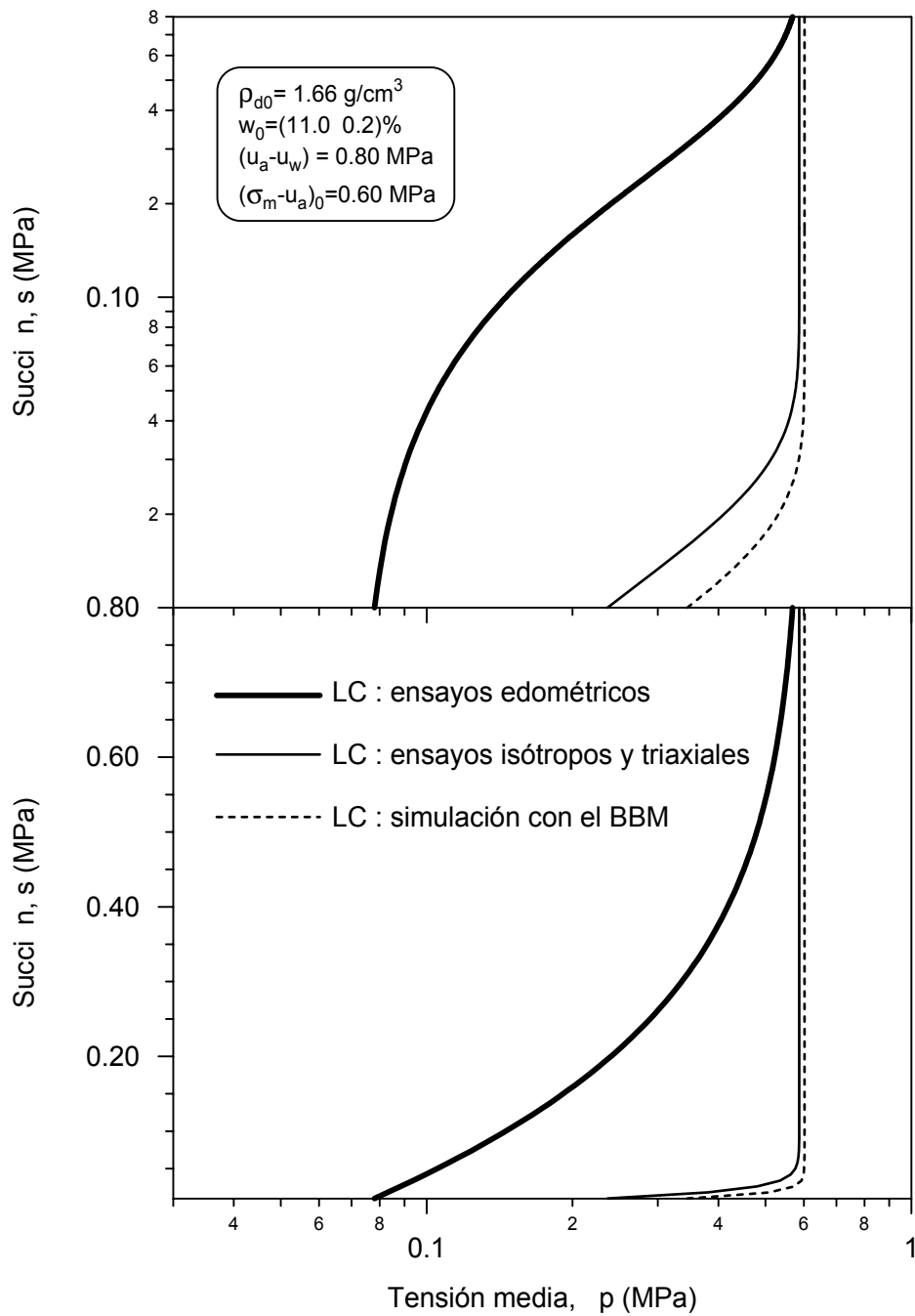


Figura 6.98 Forma de la superficie de fluencia inicial para una tensión de compactación isotrópica de 0.6 MPa y una succión de 0.80 MPa para cada uno de los tres conjuntos de parámetros utilizados en la tesis.

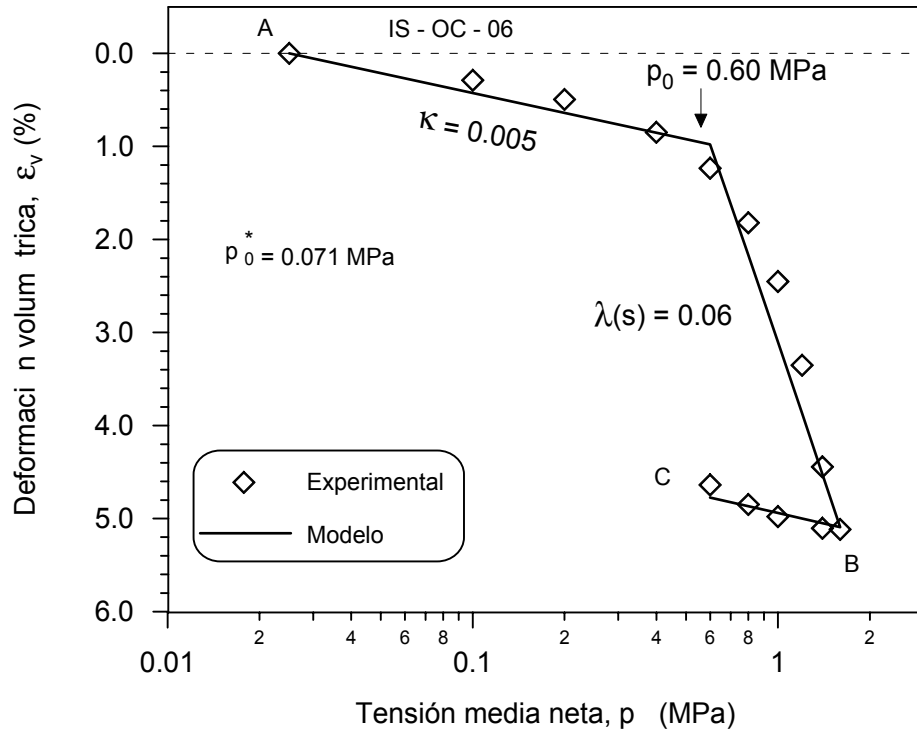


Figura 6.99 Simulación del ciclo de carga–descarga del ensayo IS-OC-06 (trayectoria A→B→C). Parámetros de compresibilidad elástico y elastoplástico.

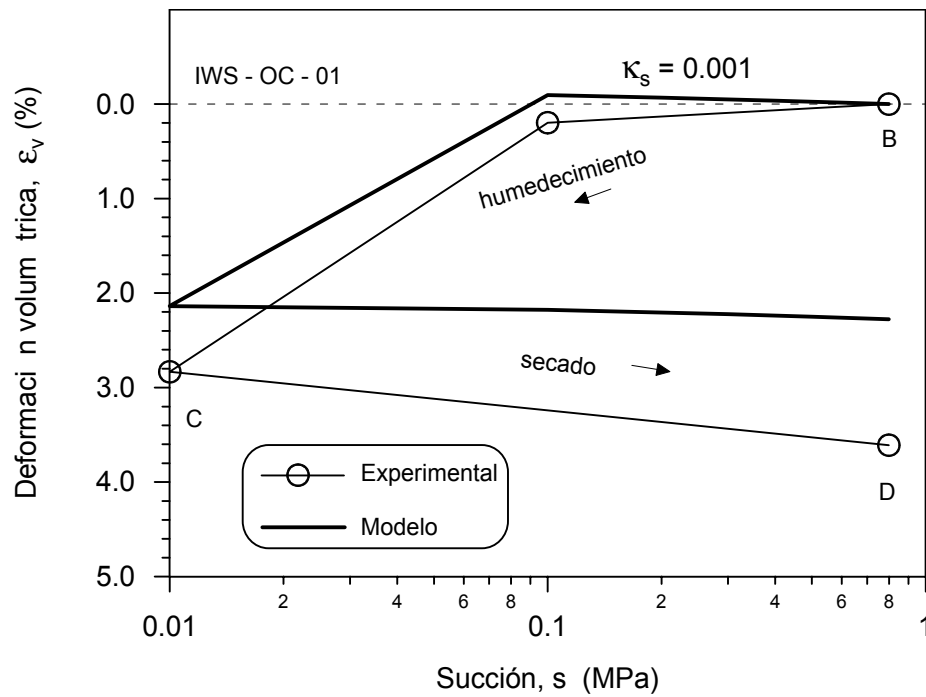


Figura 6.100 Simulación del ciclo de humedecimiento–secado del ensayo IWS-OC-01 (trayectoria B→C→D). Parámetro de rigidez elástica para cambios en succión.

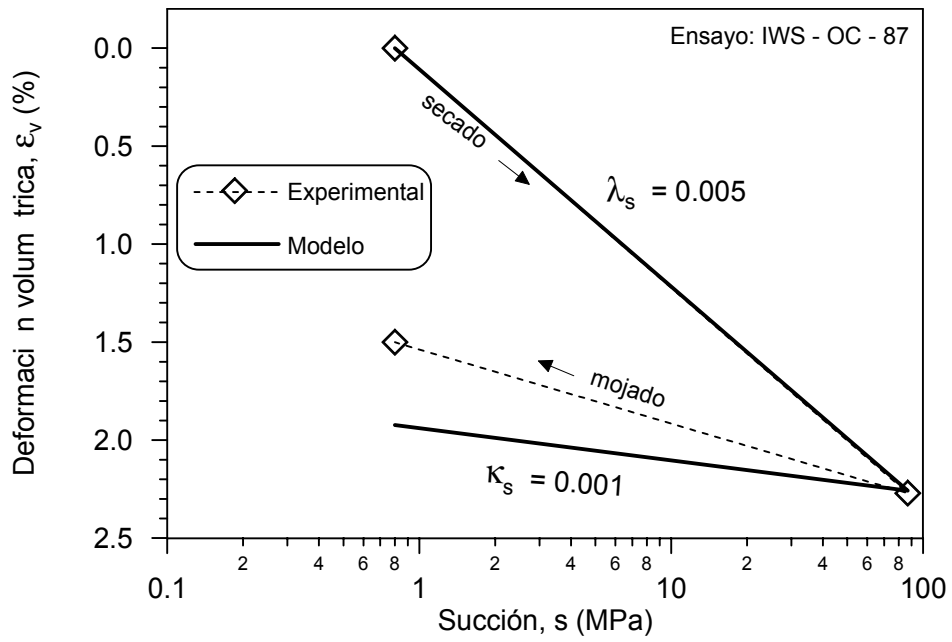


Figura 6.101 Simulación del ciclo de secado-humedecimiento del ensayo IWS-OC-87. Parámetros de rigidez elástica y elastoplástica para cambios en succión.

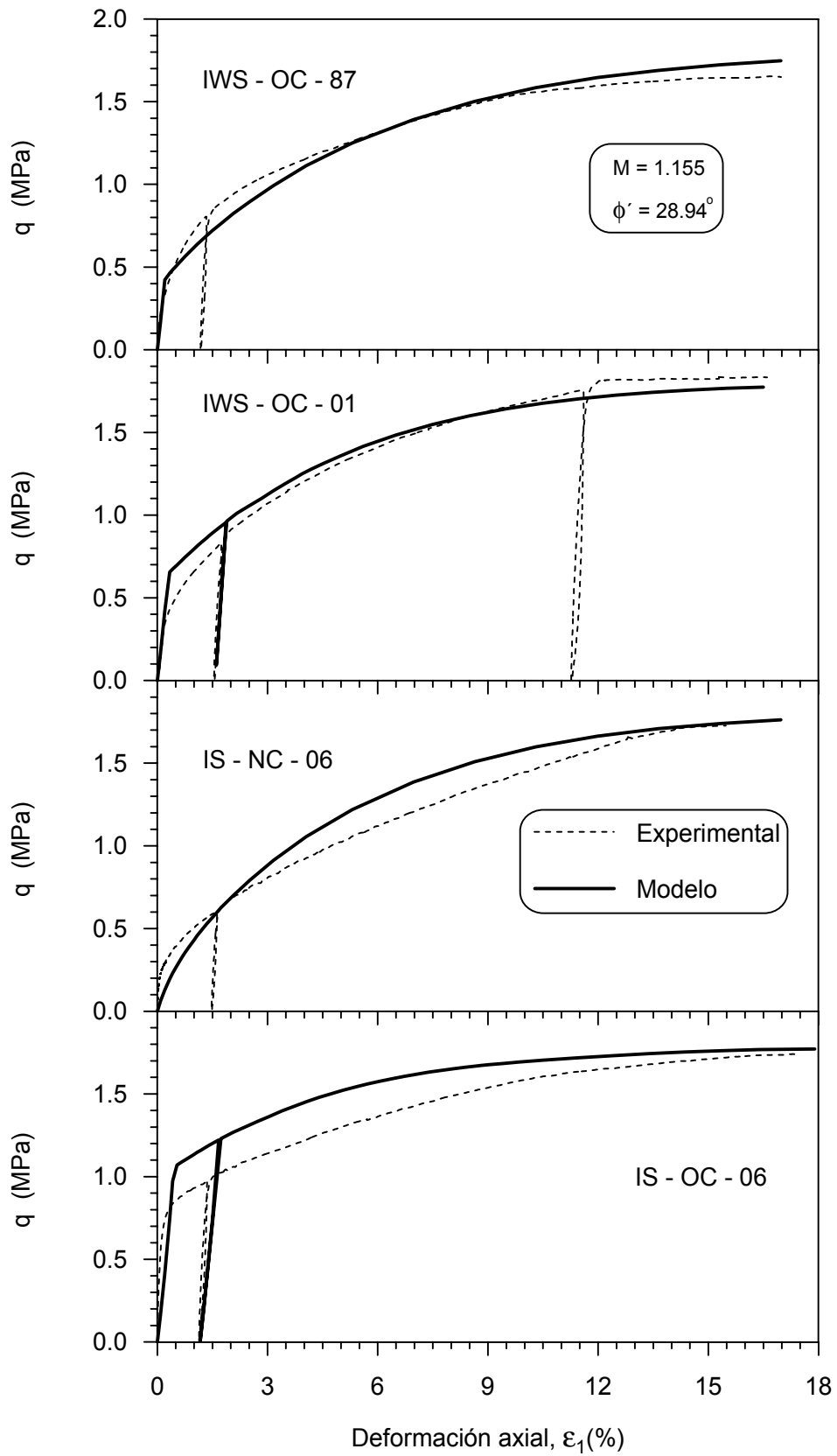


Figura 6.102 Comparación entre resultados experimentales y calculados de la trayectoria de corte.

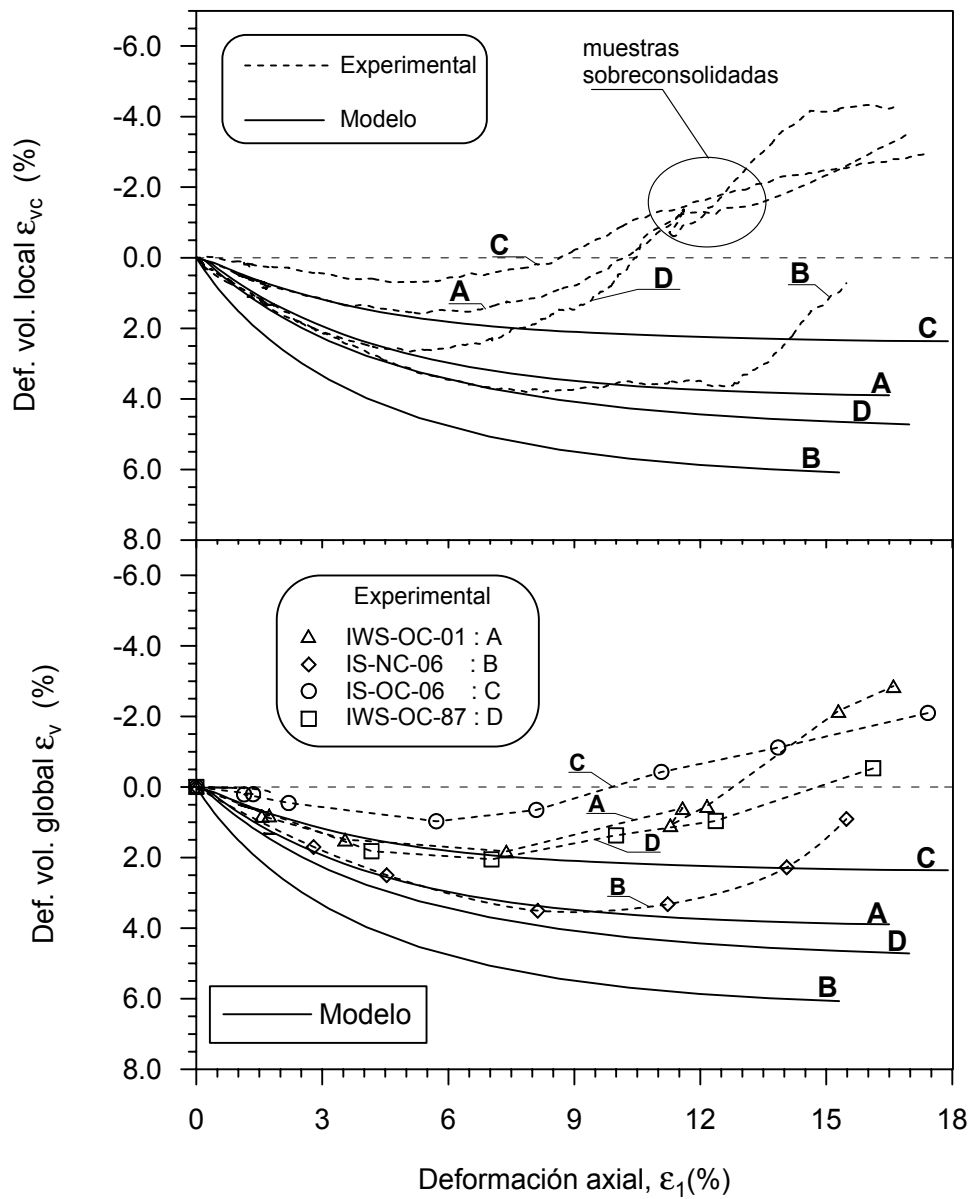


Figura 6.103 Simulación de las deformaciones volumétricas durante la etapa de corte.

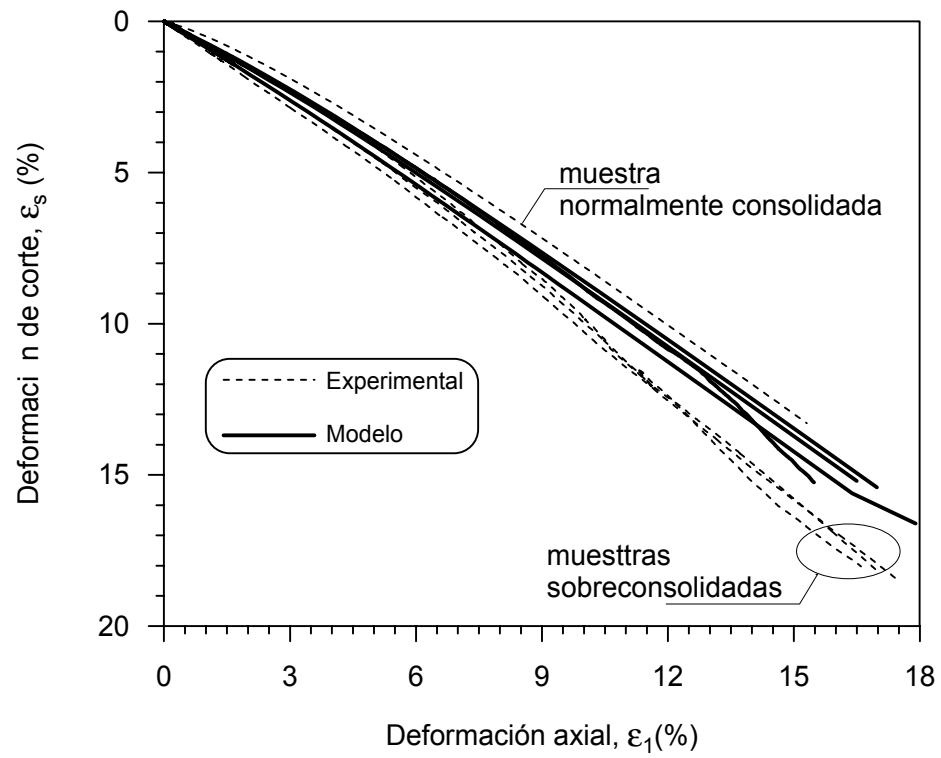


Figura 6.104 Simulación de las deformaciones de corte de los ensayos IS-NC-06, IS-OC-06, IWS-OC-01 y IWS-OC-87.